

# Estudo do lançamento de projéteis

## Autores:

- João Gameiro, Nº93097
- Francisco Martino, Nº85088
- Leandro Rito, Nº92975

**Turma: PL4 / Grupo: 3 / Data: 22-10-2019**

## Sumário

O principal objetivo deste trabalho era o estudo do movimento dos projéteis em diferentes condições, tais como: movimento horizontal, oblíquo e contra um pêndulo balístico. Para a realização do mesmo foram disponibilizados documentos que foram seguidos tanto para a realização do trabalho como para a elaboração deste relatório.

A atividade laboratorial foi realizada de acordo com o enunciado fornecido. Durante o processo experimental foram registados todos os procedimentos seguidos bem como os dados recolhidos para posterior análise e tratamento. Foram calculadas todas as grandezas físicas que o enunciado referia, com auxílio dos dados recolhidos bem como os erros associados. Este relatório foi posteriormente elaborado com recurso a toda a informação recolhida durante a atividade e ao guião da mesma.

Assim posto os resultados esperados serão os seguintes, sendo todos eles baseados nos cálculos com dados teóricos da introdução teórica, assim expectamos que o ângulo ótimo(Parte B) será de 41°.

## Introdução Teórica

Um projétil é um corpo que se encontra sujeito apenas às forças da gravidade e da resistência do ar, cujo lançamento pode ser vertical, horizontal ou oblíquo. A sua posição, segundo um plano (x, y), pode ser dada por:

$$x = x_0 + (v_0 \cdot \cos \theta_0)t \quad \text{e} \quad y = y_0 + (v_0 \cdot \sin \theta_0)t - \frac{1}{2}gt^2$$

$x_0$  e  $y_0$  são respetivamente a abcissa e ordenada da posição inicial,  $v_0$  representa a velocidade inicial do projétil,  $\theta_0$  o ângulo entre a inclinação do vetor velocidade inicial e o eixo xx e  $g$  a aceleração gravítica ( $g = 9,8 \text{ m s}^{-2}$ ). A partir das equações anteriores podemos obter uma nova que permite nos permite determinar o ângulo ( $\theta_{amax}$ ) correspondente ao alcance máximo ( $y_i$  e  $y_f$  são respetivamente as alturas inicial e final).

$$\theta_{amax} = \arctg \left( \frac{1}{\sqrt{1 + \frac{2g \cdot (y_i - y_f)}{v_0^2}}} \right)$$

A grandeza a determinar na primeira fase do trabalho será  $v_0$  através do estudo de um movimento horizontal de um projétil (figura 1). Na segunda fase o objetivo passa a ser estudar a relação de dependência entre o ângulo de lançamento e o alcance atingido (movimento oblíquo). Em última instância pretende-se determinar novamente  $v_0$ , no entanto agora com recurso ao pêndulo balístico.

Para a última parte do trabalho dispara-se um projétil contra o pêndulo balístico (figura 3) e, após o mesmo ficar alojado no pêndulo, o conjunto irá adquirir energia cinética que irá ser transformada em energia potencial gravítica. Devido à conservação da energia mecânica iremos concluir que:

$$E_c(\text{inicial}) = E_p(\text{máx}) \equiv \frac{1}{2}(m + M)v_2^2 = (m + M) \cdot gh$$

( $m+M$  – massa do conjunto,  $v_2$ -velocidade do conjunto,  $h$ -altura)

Através da percepção que o momento linear seria conservado, iremos conseguir relacionar a velocidade inicial e a altura.

$$mv_0 = (m + M) v_2 \quad (\text{conservação do momento linear})$$

Essa relação será deduzida através das duas equações anteriores e irá permitir calcular a velocidade inicial.

$$v_0 = \left( \frac{m+M}{m} \right) v_2 \equiv \left( \frac{m+M}{m} \right) \sqrt{2gh}$$

Em todos os casos estudados neste trabalho, os movimentos considerados são suficientemente pequenos e com velocidades relativamente reduzidas para se poder desprezar forças dissipativas.

# Procedimento Experimental

## Parte A

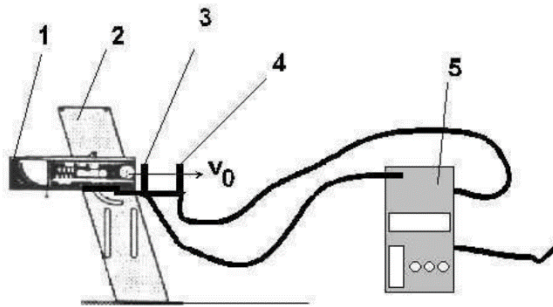


Figura 1: 1-Lançador de projéteis, 2-Base de fixação, 3-Sensor de passagem (iniciar a contagem), 4-Sensor de passagem (terminar a contagem), 5-Sistema de controlo.

## Material Utilizado

- Esfera metálica;
- Lançador de projéteis e base de fixação;
- Sensores fotoelétricos;
- Botão.

## Metodologia

1. Colocação do lançador de projéteis (LP) na horizontal (montagem evidenciada na Figura 1);
2. Medir a distância ( $s$ ) entre os dois sensores;
3. Carregar o LP com a esfera metálica;
4. Com auxílio do botão, colocar o LP na posição *“Medium Range”*;
5. Preparar o sensor para a medição do tempo:
  - 5.1. Carregar no botão *“Select Measurement”* repetidamente até selecionar a opção *“Time”*;
  - 5.2. Carregar no botão *“Select Mode”* repetidamente até selecionar a opção *“Two Gates”*;
  - 5.3. Carregar no botão *“Start/Stop”* para iniciar o processo de registo do tempo;
6. Puxar a corda para disparar a esfera;
7. Registrar o tempo e retomar a horizontalidade do LP;
8. Repetir os passos 3 a 7, cinco vezes;
9. Calcular o tempo médio ( $T_{\text{médio}}$ ) e o respetivo erro;
10. Calcular a velocidade inicial ( $V_0$ ).

## Parte B

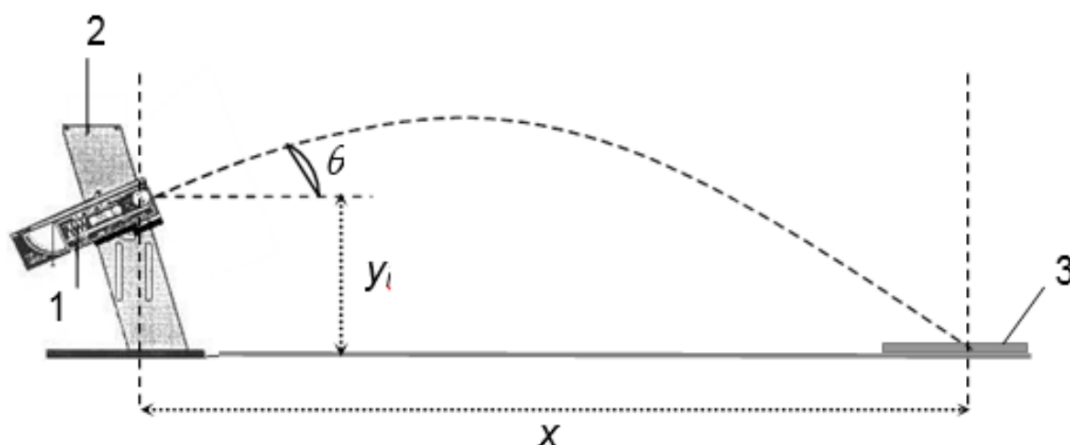


Figura 2: 1-Lançador de projéteis, 2-Base de fixação, 3-Alvo, X-Alcance,  $y_i$ -Altura inicial,  $\theta$ -Ângulo de lançamento

## Material Utilizado

- Esfera metálica;
- Lançador de projéteis e base de fixação;
- Batão;
- Alvo (base de madeira + folha de papel químico + folha de papel milimétrico).

## Metodologia

1. Colocação do LP segundo um ângulo de  $30^\circ$  com a horizontal (montagem evidenciada na Figura 2);
2. Medir a altura da mesa ao LP (altura inicial ( $h_0$ ));
3. Fazer ensaios de teste para determinar o local aonde colocar o alvo;
4. Após verificação do ângulo de lançamento e da colocação do LP na posição "Medium Range", efetuar o disparo;
5. Medir a distância obtida (base do LP até ao local onde a esfera caiu);
6. Repetir os passos 2 a 5;
7. Repetir os passos 3 a 6, para diferentes ângulos ( $37^\circ, 41^\circ, 45^\circ, 50^\circ$ );
8. Calcular o alcance médio para cada ângulo.

## Parte C

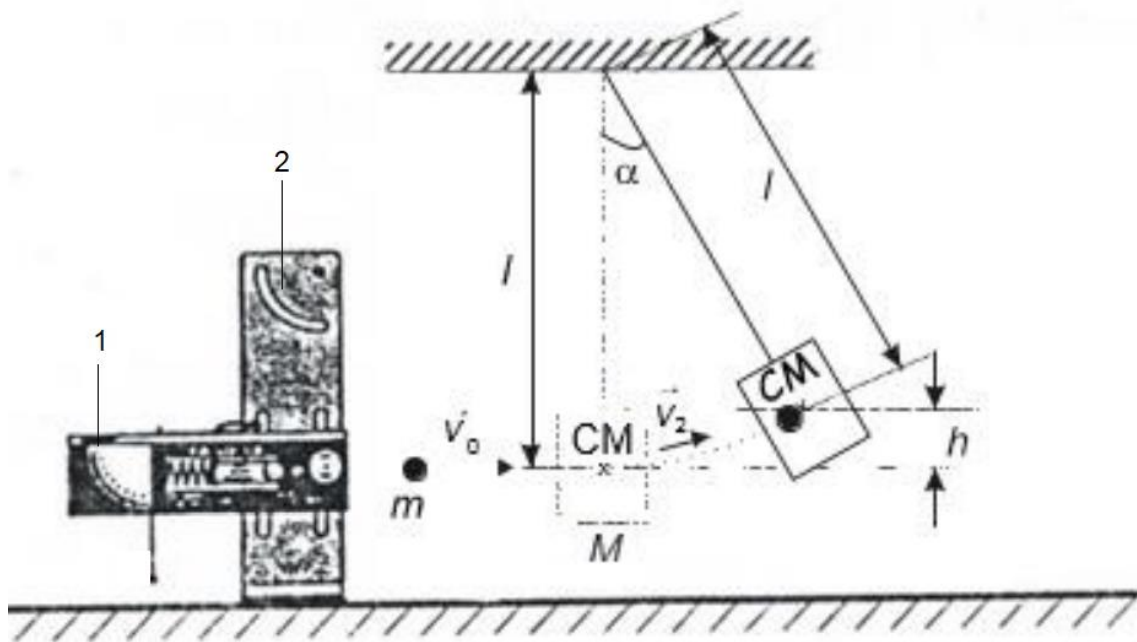


Figura 3: 1-LP, 2-Base de fixação, m-esfera metálica, M-Pêndulo

## Material Utilizado

- Esfera metálica;
- Lançador de projéteis e base de fixação;
- Pêndulo balístico.

## Metodologia

1. Medir as massas da esfera metálica ( $m$ ) e do pêndulo ( $M$ );
2. Medir o comprimento do pêndulo ( $l$ );
3. Colocar o LP na horizontal e preparar o pêndulo;
4. Fazer ensaios de teste para verificar se o pêndulo se encontra bem posicionado;
5. Colocar a esfera no LP e puxar a corda para disparar;
6. Registrar o ângulo descrito pelo pêndulo;
7. Reposicionar o pêndulo na posição inicial;
8. Repetir os passos 5 a 6 mais quatro vezes.

# Análise e Tratamento de Dados

## Parte A

### Medições

Distância entre os sensores ( $s$ ) =  $0,116 \pm 0,0005$  m

Tempos registados:

- $t_1 = 0,0279 \pm 0,0001$  s
- $t_2 = 0,0280 \pm 0,0001$  s
- $t_3 = 0,0283 \pm 0,0001$  s
- $t_4 = 0,0282 \pm 0,0001$  s
- $t_5 = 0,0276 \pm 0,0001$  s

### Cálculos

Cálculo do tempo médio e respetivo erro:

$$\frac{t_1 + t_2 + t_3 + t_4 + t_5}{5} = 0,0280 \text{ s}$$

$$\Delta t_{\text{médio}} = 0,0001 \text{ s}$$

$$t_{\text{médio}} = 0,0280 \pm 0,0001 \text{ s}$$

Cálculo da velocidade inicial ( $V_0$ ) e respetivo erro:

$$V_0 = \frac{s}{t_{\text{médio}}} = \frac{0,116}{0,0280} = 4,1429 \text{ m s}^{-1}$$

$$\Delta V_0 = \left| \frac{dV_0}{dt_{\text{médio}}} \right| \cdot \Delta t + \left| \frac{dV_0}{dx} \right| \cdot \Delta x \quad (1)$$

Sabendo que:

$$\Delta x = \Delta s = 0,0005 \text{ m} \quad x = s = 0,116 \text{ m}$$

$$\Delta t = 0,0001 \text{ s} \quad t_{\text{médio}} = 0,0280 \text{ s}$$

$$\left| \frac{dV_0}{dt_{\text{médio}}} \right| = \left| \frac{-x}{t_{\text{médio}}^2} \right| = \left| \frac{-0,116}{0,0280^2} \right| = 147,9592$$

$$\left| \frac{dV_0}{dx} \right| = \left| \frac{1}{t_{\text{médio}}} \right| = \left| \frac{1}{0,0280} \right| = 35,7143$$

Logo substituindo na equação (1) vamos obter:

$$\Delta V_0 = \left| \frac{dV_0}{dt_{\text{médio}}} \right| \cdot \Delta t + \left| \frac{dV_0}{dx} \right| \cdot \Delta x = (147,9592 \cdot 0,0001) + (35,7143 \cdot 0,0005) = 0,0327 \text{ m s}^{-1}$$

E concluímos assim que  $V_0 = 4,1429 \pm 0,0327 \text{ m s}^{-1}$

## Parte B

### Medições

Altura inicial:  $Y_i = 0,27 \pm 0,005 \text{ m}$

Alcances registados para cada ângulo:

Ângulo (°)	$x_1$ (m)	$x_2$ (m)	$x_3$ (m)
30	1,572	1,568	1,559
37	1,640	1,644	1,642
41	1,662	1,666	1,664
45	1,639	1,641	1,662
50	1,555	1,568	1,574

### Cálculos

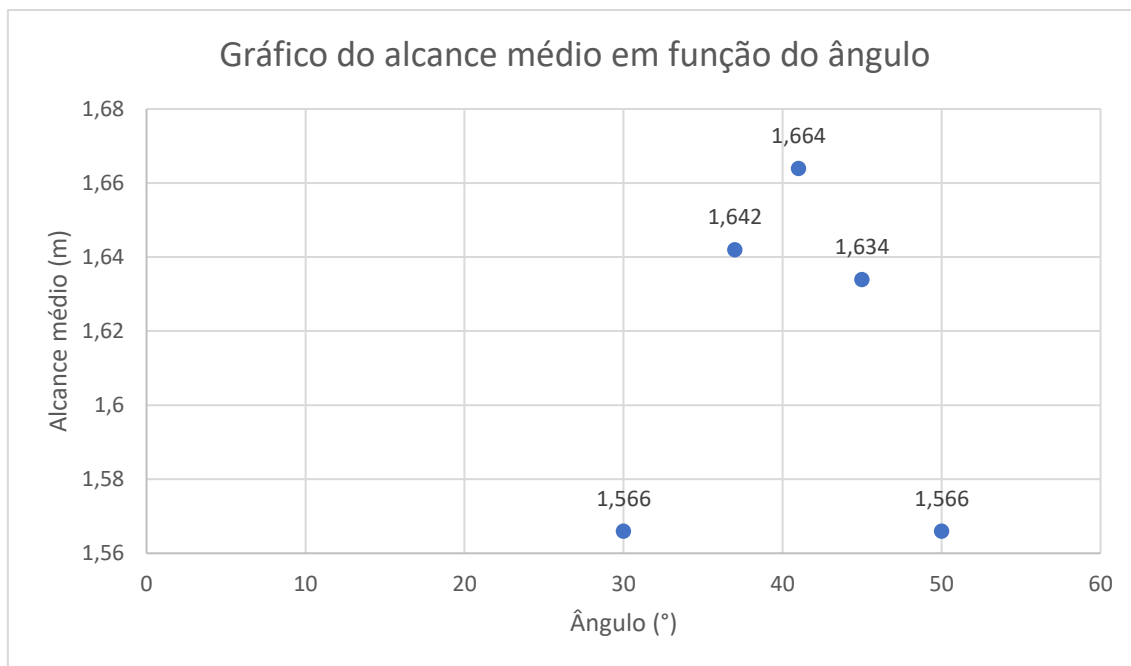
Cálculo do ângulo máximo, cujo resultado obtido, foi posteriormente usado na escolha dos ângulos para realizar a experiência. Foi usada a fórmula fornecida no enunciado.

$$\theta_{amax} = \arctg \left( \frac{1}{\sqrt{1 + \frac{2g \cdot (y_i - y_f)}{v_0^2}}} \right) = \arctg \left( \frac{1}{\sqrt{1 + \frac{2g \cdot (0,27)}{4,14^2}}} \right) = 41,157^\circ$$

Para o cálculo dos ângulos médios foi usada a fórmula (2) com os valores obtidos para cada ângulo.

$$x_{médio} = \frac{x_1 + x_2 + x_3}{3} \quad (2) \quad \text{Os resultados obtidos foram:}$$

Ângulo (°)	Alcance médio (m)
30	1,566
37	1,642
41	1,664
45	1,634
50	1,566



## Parte C

### Medições

Comprimento do Pêndulo ( $l$ ):  $0,30 \pm 0,0005$  m;

Ângulos registados

$\alpha_1$	29°
$\alpha_2$	31°
$\alpha_3$	29°
$\alpha_4$	32°
$\alpha_5$	31°

Massa da esfera metálica (m):  $63,63 \pm 0,01$  g;

Massa do pêndulo (M):  $237,67 \pm 0,01$  g.

### Cálculos

Cálculo do ângulo médio

$$\alpha_{\text{médio}} = \frac{\alpha_1 + \alpha_2 + \alpha_3 + \alpha_4 + \alpha_5}{5} = 30,4 \pm 0,025^\circ$$

Cálculo da altura (h) e o seu respetivo erro:



Para o cálculo da altura, foi considerado um triângulo retângulo com hipotenusa de comprimento  $l$ , e um dos lados com comprimento  $adj$ .

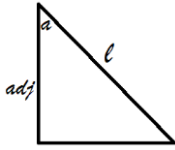


Figura 4: Esboço para o auxílio do cálculo da altura ( $h$ )

$$\cos \alpha_{\text{médio}} = \frac{adj}{l} \equiv l \cdot \cos \alpha_{\text{médio}} = adj \quad \text{logo a partir desta fórmula obtemos que}$$

$$h = l - l \cos \alpha_{\text{médio}} = l(1 - \cos \alpha) = 0,3(1 - \cos 30,4^\circ) = 4,125 \cdot 10^{-2} \text{ m}$$

$$\Delta h = \left| \frac{dh}{l} \right| \cdot \Delta l + \left| \frac{dh}{\alpha_{\text{médio}}} \right| \cdot \Delta \alpha_{\text{médio}} = (1 - \cos \alpha) \cdot \Delta l + l \cdot (1 + \sin \alpha) \cdot \Delta \alpha_{\text{médio}} = 0,0114 \text{ m}$$

Logo concluindo  $h = 4,125 \pm 0,014 \text{ m}$

Cálculo da velocidade inicial ( $v_0$ ) e o seu respetivo erro. Foi feito usando a fórmula fornecida no enunciado.

$$v_0 = \left( \frac{m + M}{m} \right) \cdot \sqrt{2gh} = \left( \frac{63,63 + 237,67}{63,63} \right) \cdot \sqrt{2 \cdot 9,8 \cdot (4,125 \cdot 10^{-2})}$$

$$= 4,258 \text{ m s}^{-1}$$

Cálculo do erro

$$\Delta v_0 = \left| \frac{dv_0}{m} \right| \cdot \Delta m + \left| \frac{dv_0}{M} \right| \cdot \Delta M + \left| \frac{dv_0}{h} \right| \cdot \Delta h =$$

$$= \left| \left( 1 - \frac{M}{m^2} \right) \sqrt{2gh} \right| \cdot \Delta m + \left| \left( 1 + \frac{1}{m} \right) \sqrt{2gh} \right| \cdot \Delta M + \left| \left( 1 + \frac{M}{m} \right) \frac{g}{\sqrt{2gh}} \right| \cdot \Delta h$$

$$= 0,6080 \text{ m s}^{-1}$$

Concluindo  $v_0 = 4,258 \pm 0,6080 \text{ m s}^{-1}$

## Discussão e Conclusão

Para cada parte do trabalho foi seguida a metodologia referida no procedimento experimental. Todos os cálculos efetuados são apresentados na secção seguinte.

## Resultados obtidos

Na parte A o objetivo era calcular a velocidade inicial através das equações do movimento fornecidas no enunciado e o resultado obtido foi:

$$V_0 = 4,1429 \pm 0,0327 \text{ m s}^{-1}$$

Para a parte B o objetivo era verificar a relação entre o ângulo de lançamento e o alcance atingido. Foi comprovado experimentalmente que o ângulo máximo de lançamento (calculado teoricamente), para o qual o alcance era máximo foi  $41^\circ$ .

Para a parte C o objetivo era calcular a velocidade inicial do projétil utilizando um pêndulo balístico. O resultado obtido foi:

$$v_0 = 4,258 \pm 0,6080 \text{ m s}^{-1}$$

## Discussão

Na parte B, o ângulo calculado teoricamente foi de  $41^\circ$ , e através do procedimento experimental concluímos que este era o valor para o qual o alcance era maior.

Possíveis fontes de erro:

- Colocação imprecisa das células fotoelétricas;
- Medições arredondadas por imprecisão do olho humano;